= ЭЛЕКТРОННАЯ И ИОННАЯ ОПТИКА

УДК 537.533

ТОЧНЫЕ РЕШЕНИЯ УРАВНЕНИЙ ДВУМЕРНОГО НЕСТАЦИОНАРНОГО ЭЛЕКТРОННОГО ПУЧКА

© 2024 г. Т. М. Сапронова, В. А. Сыровой*

ВЭИ— филиал ФГУП «РФЯЦ— ВНИИТФ им. академ. Е. И. Забабахина», ул. Красноказарменная, 12, Москва, 111250 Российская Федерация

*E-mail: red@cplire.ru

Поступила в редакцию 18.04.2023 г. После доработки 18.11.2023 г. Принята к публикации 11.01.2024 г.

Выполнен анализ и проведена интерпретация точных решений, которые описывают немонотонные и осцилляционные режимы плотного электронного пучка с тремя компонентами скорости, зависящего от времени и двух декартовых координат.

Ключевые слова: точные решения, нестационарные потоки, двумерные уравнения, пространственные траектории

DOI: 10.31857/S0033849424100118, EDN: HPRAQO

ВВЕДЕНИЕ

Классические одномерные стационарные решения в отсутствие магнитного поля [1-4] или при его наличии [5-9] способствовали пониманию явления термоэмиссии. Точные решения с разделением переменных в сферических координатах [10, 11] использованы для расчета электронно-оптической системы гиротрона [12-14]. Релятивистские потоки с одной компонентой скорости в декартовых или сферических координатах, описанные в работах [15-17] («парапотенциальные потоки» в [18]), положены в основу некоторых моделей сильноточных релятивистских диодов с магнитной самоизоляцией [19, 20]. Основная функция точных решений в настоящее время — служить эталонами при тестировании приближенных [21-23] и численных [24-28] алгоритмов в задачах расчета интенсивных электронных пучков, причем в работах [21-23] оценивается точность геометризованных моделей и параксиального приближения.

Наиболее полные наборы точных решений рассматриваемой системы уравнений в частных производных могут быть построены на основе исследования групповых свойств и использовании понятия инвариантного решения [29]. Итогом

подобного подхода в приложении к уравнениям плотного электронного пучка являются таблицы точных решений, приведенные в работе [30] и монографиях [31, 32], которые сопровождаются ссылками на ранее полученные в свободном поиске результаты. Большая часть публикаций по этой теме посвящена стационарным потокам, в то время как число исследований течений, зависящих от времени, относительно невелико [33—38].

Одномерные разлеты релятивистских сгустков рассмотрены в работе [33], двумерные релятивистские решения апериодического характера — в [34]. В работе [35] исследованы двумерные нерелятивистские потенциальные потоки на плоскости при наличии *z*-компоненты однородного магнитного поля. Рассмотрение основано на уравнении четвертого порядка для действия (потенциала обобщенного импульса) — исключительно громоздком соотношении, к которому могут быть сведены простые исходные уравнения пучка¹. По этой при-

¹ Уравнение для действия в нестационарном случае в векторной записи содержит 10 слагаемых [35]; в более простом случае $\partial/\partial t = H_z = 0$ в декартовых координатах число членов равно 24.

чине, по-видимому, второе из двух приведенных решений оказалось неверным.

Первое из них соответствовало плоскому потоку с действием Wвида

$$W = \frac{1}{4}f(t)(x^{2} + y^{2}) + \alpha(t)x + + \beta(t)y + \gamma(t)(x^{2} - y^{2}) + \delta(t)xy.$$
 (1)

Зависящие от времени интенсивности квадруполей связаны с функцией f соотношением (коэффициент перед интегралом в квадратной скобке скорректирован)

$$\gamma^{2} + \delta^{2} = \exp(-s) \left[C - \frac{1}{8} \int F \exp(s) dt \right],$$
 (2)

$$s = \int f dt, \quad F = f'' + 2f f'^{2} + \frac{1}{2} f^{3} + \frac{1}{2} H_{z} f^{2},$$

$$C = \text{const.}$$

Автор [35] считает, что при периодической функции f(t) периодическим (но, заметим, необязательно ограниченным) будет и интеграл, причем при достаточно большом значении C правая часть окажется положительной. Параметры найденного потенциального должны удовлетворять соотношению (2), но для конструктивного построения и анализа решений оно оказывается бесполезным.

Работа с точными решениями включает три этапа. На первом выявляется функциональный вид решения, позволяющий перейти от уравнений в частных производных к обыкновенным дифференциальным уравнениям. Второй состоит в попытке получить решение этих уравнений в элементарных или специальных функциях, особенно удобных для проблемы тестирования. Интерпретация построенных таким образом решений составляет третий этап исследования, проясняющий одновременно возможность постановки соответствующих тестовых задач.

Цель работы — интерпретация подобного рода решений уравнений нестационарного нерелятивистского пучка, зависящих от двух декартовых координат при трех отличных от нуля компонентах скорости. Предварительному анализу этих решений посвящена работа [39]. При более подробном рассмотрении предпочтение отдается осцилляционным режимам или хотя бы немонотонным зависимостям параметров потока от времени, причем распорядиться произвольными постоянными и функциями необходимо так, чтобы избежать образования виртуального катода.

Нестационарный нерелятивистский пучок во внешнем квазистационарном магнитном поле описывается следующей системой уравнений в частных производных:

$$\frac{\partial \vec{v}}{\partial t} + (\vec{v}\nabla)\vec{v} = \nabla \varphi + \vec{v} \times \overrightarrow{H} , \quad \nabla \overrightarrow{H} = 0, \quad (3)$$

$$\operatorname{rot} \overrightarrow{H} = 0, \ \frac{\partial \rho}{\partial t} + \nabla (\rho \overrightarrow{v}) = 0, \ \Delta \varphi = \rho.$$

Здесь \vec{v} , \vec{H} – векторы скорости и напряженности магнитного поля; ϕ , ρ — потенциал электрического поля \vec{E} и плотность пространственного заряда. В декартовых x, y и цилиндрических R, ψ координатах для компонент скорости примем обозначения $\{u,v\}$ и $\{v_R,v_\psi\}$, w — для z-компоненты. Уравнения (3) и все последующие соотношения записаны в нормировках, исключающих физические константы используемой системы единиц; $\rho > 0$ и $\vec{E} = \nabla \phi$, символы со звездочкой — харак-. терные величины задачи; $\eta, \epsilon_{_0}, \mu_{_0}$ — удельный заряд электрона, диэлектрическая и магнитная проницаемости вакуума

$$\overline{r} = \frac{r}{L_*}, \overline{v} = \frac{v}{V_*}, \overline{t} = \frac{t}{\left(L_*/V_*\right)},$$

$$\overline{\varphi} = \frac{\varphi}{\left(-V_*^2/\eta\right)}, \overline{\rho} = \frac{\rho}{\left(\varepsilon_0 V_*^2/\eta L_*^2\right)},$$

$$\overline{H} = \frac{H}{\left(V_*/\eta \mu_0 L_*\right)}$$

1. РЕШЕНИЯ С ОДНОРОДНЫМ РАСПРЕДЕЛЕНИЕМ ПРОСТРАНСТВЕННОГО ЗАРЯЛА

Решение I. Параметры потока и соответствующая система обыкновенных уравнений описываются формулами

$$u=xI_1(t), \quad v=xI_2(t), \quad \phi=x^2I_4(t), \quad \rho=I_5(t); \quad (4)$$
 $I_1'+I_1^2=2I_4+I_2H_z, \quad I_2'+I_1I_2=-I_1H_z,$ $I_5'+I_1I_5=0, \quad 2I_4=I_5.$ Решение определено выражениями

$$U = A\cos\omega t + B\sin\omega t + U_0,$$

$$U_0 = (\rho_0 + \omega V_0)/\omega^2, \quad \omega = H_z,$$

$$I_1 = \frac{U'}{U}, \quad I_2 = \frac{V_0}{U} - H_z, \quad I_4 = \frac{\rho_0}{2U},$$

$$I_5 = \frac{\rho_0}{U}, \quad \xi = \frac{x}{U},$$

$$w = W(\xi) \exp\left[vy + \frac{v\xi}{\omega}(\rho_0 t - U')\right].$$
(5)

По умолчанию не поясняемые символы (A, B, vв (5)), а также символы с индексом нуль являются константами.

На рис. 1 представлены характеристики потока для двух наборов констант; при этом

$$U = \cos \omega t + U_0,$$

$$\overline{w} = \exp \left[-y - \frac{1}{U} \left(\frac{\rho_0}{\omega} t + \sin \omega t \right) \right].$$
(6)

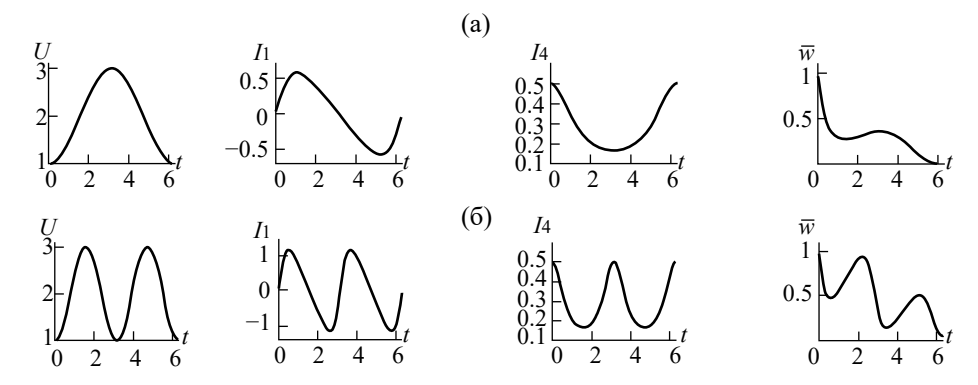


Рис. 1. Параметры потока для решения I при A=1, B=0, $\rho_0=1$, W=1, v=-1: a) $V_0=1$, $\omega=1$; б) $V_0=3.5$, $\omega=2$.

Как видно из формул (5), функции I_2 , I_5 с точностью до постоянного множителя и сдвига в первом случае совпадают с функцией I_4 . Решение описывает поток в плоском диоде x=0, x=1 с потенциалами электродов $\phi_0=0$, $\phi_1=I_4(t)$, в котором на бриллюэновское движение со скоростью v наложено x-перемещение частиц, имеющее осцилляционный характер с частотой, определяемой магнитным полем. Обычная бриллюэновская зависимость $v=-H_z x$ дополнена зависящим от времени периодическим фрагментом

В момент времени t=0 пространство между плоскостями заполнено зарядом с плотностью $I_5(0)$.В дальнейшем при уменьшении ϕ_1 плоскость x=1 поглощает частицы, причем скорость поглощения ($I_1>0$) проходит через максимум и обращается в нуль при минимальном значении ϕ_1 . Затем при возрастании ϕ_1 реализуется симметричный процесс инжекции заряда ($I_1<0$).

Движение в плоскости (x,y) развертывается в z-направлении со скоростью w из (5) по экспоненте, зависящей от y и содержащей функцию U(t), причем эта зависимость может быть усложнена за счет произвольного множителя $W(\xi)$.

Решение II. Решение определено соотношениями с произвольной функцией h(t):

$$u = xI_{1}(t), \quad v = xI_{2}(t),$$

$$\varphi = \frac{1}{2} \frac{h''}{h} z^{2} + x^{2} I_{4}(t), \qquad (7)$$

$$\rho = I_{5}(t);$$

$$I'_{1} + I_{1}^{2} = 2I_{4} + I_{2}H_{z}, \quad I'_{2} + I_{1}I_{2} = -I_{1}H_{z},$$

$$I'_{5} + \left(I_{1} + \frac{h'}{h}\right)I_{5} = 0,$$

$$2I_{4} = I_{5} - \frac{h''}{h}.$$

Уравнения (7) и третье уравнение движения могут быть трансформированы к виду

$$I_{1} = \frac{U'}{U}, \quad I_{2} = \frac{V_{0}}{U} - H_{z}, \quad I_{5} = \frac{\rho_{0}}{hU},$$

$$U'' + \left(H_{z}^{2} + \frac{h''}{h}\right)U = \frac{\rho_{0}}{h} + V_{0}H_{z},$$

$$w = \frac{h'}{h}z + \frac{1}{h}W(\xi), \quad \xi = \frac{x}{U},$$
(8)

где $W(\xi)$ — произвольная функция.

При h = U для функции U(t) получаем уравне-

ние с первым интегралом

$$U'^{2} = \rho_{0} \ln U + V_{0} H_{z} U - \frac{1}{2} H_{z}^{2} U^{2} + C = C - G(U).$$
 (9)

Уравнение типа (9) описывает движение в потенциальной яме «частицы» с координатой U и «интегралом энергии»

$$U'^2 + G(U) = C. (10)$$

Амплитуду колебаний при несимметричных «стенках» определяют два корня $U_1,\,U_2$ уравнения

$$G(U) = C. (11)$$

Период колебаний описывается выражением

$$T = 2 \int_{U_1}^{U_2} \frac{dU}{\sqrt{C - G(U)}}.$$
 (12)

Частицы, находившиеся в начале периода в плоскости $x = U_1 x_0$, совершают осцилляционное движение в диапазоне $U_1 x_0 < x < U_2 x_0$. Формулы (8) для параметров потока принимают вид

$$I_{1} = \frac{U'}{U}, \quad I_{2} = \frac{V_{0}}{U} - H_{z}, \quad I_{5} = \frac{\rho_{0}}{U^{2}},$$

$$I_{4} = \frac{1}{4} \left(I_{5} - \frac{V_{0}H_{z}}{U} + H_{z}^{2} \right),$$
(13)

$$\phi = \frac{1}{2} \frac{U''}{U} z^2 + I_4 x^2, \quad w = I_1 z + \frac{1}{U} W(\xi), \quad \xi = \frac{x}{U}.$$

На рис. 2а приведены функции U, I_1 , I_2 , I_4 , I_5 . Период колебаний решения близок к π : T=3.268, $U_1=1$, $U_2=1.516$. Плоскости $x=x_*=$ const не являются эквипотенциальными:

$$\phi_* = \frac{1}{2} \frac{U''}{U} z^2 + I_4 x_*^2. \tag{14}$$

При t=0 область $x_1 < x < x_2$ заполнена зарядом максимальной плотности ρ_0 . При увеличении t плоскость $x=x_1$ начинает эмитировать, а $x=x_2$ поглощать частицы со скоростью, проходящей через максимум и обращающейся в нуль при t=T/2. Во втором полупериоде они меняются ролями. При W=0 движение по второй координате в плоскости (x,z) определено тем же законом, что и в x-направлении. Произвольная функция $W(\xi)$ приводит к усложнению картины. Компонента v по y, имеющая вид бриллюэновской зависимости (5), но с другой функцией U(t), осуществляет развертку в y-направлении. Заряды перемещаются в поле $\phi(t,x,z)$, эквипотенциали-эллипсы (t=0) которого трансформируются в гиперболы (t=T/2), рис. 26).

Увеличение магнитного поля в два раза при сохранении осцилляционного режима требует изменения параметров ρ_0 , V_0 : $\rho_0=15$, $V_0=1.75$. Качественная картина решения при этом не меняется, период колебаний уменьшается примерно в два раза T=1.708 при $U_1=1$, $U_2=1.433$.

Решение III. Решение имеет вид

$$u = xI_{1}(t), \quad v = xI_{2}(t), \quad \varphi = \frac{1}{2}a^{2}z^{2} + x^{2}I_{4}(t),$$

$$\rho = I_{5}(t);$$

$$I'_{1} + I^{2}_{1} = 2I_{4} + I_{2}H_{z}, \quad I'_{2} + I_{1}I_{2} = -I_{1}H_{z},$$

$$I'_{5} + (I_{1} + a)I_{5} = 0, \quad 2I_{4} = I_{5} - a^{2}$$
(15)

и выражается через элементарные функции

$$U = \overline{\rho}_{0} \exp(-at) + A \cos \omega t + B \sin \omega t + \overline{V}_{0}, \quad \omega^{2} = a^{2} + H_{z}^{2},$$

$$I_{1} = \frac{U'}{U}, \quad I_{2} = -H_{z} + \frac{V_{0}}{U}, \quad I_{5} = \frac{\rho_{0}}{U} \exp(-at),$$

$$I_{4} = \frac{1}{2} (I_{5} - a^{2}),$$

$$w = az + \exp(-at)W(\xi), \quad \xi = x/U;$$

$$\overline{\rho}_{0} = \frac{\rho_{0}}{a^{2} + \omega^{2}}, \quad \overline{V}_{0} = \frac{V_{0}H_{z}}{\omega^{2}}.$$
(16)

На рис. За, Зб представлен пример поведения параметров электронного потока. Решение описывает перемещение зарядов между неэквипотенциальными плоскостями x=0 и $x=x_*$ с потенциалами $\phi_0=a^2z^2/2$ и $\phi_*=\phi_0+x_*^2I_4(t)$. В плоскости $x=x_*$ режим поглощения частиц многократно меняется на режим инжекции. Криволинейные траектории в плоскости (x,y) с двумерным электрическим полем (t,x,z) определяются z-компонентой скорости с произвольной функцией $W(\xi)$. Развертку в y-направлении выполняет скорость v, единожды (рис. За) или многократно (рис. Зб) проходящая через нуль.

При a < 0 и $t \to \infty$ плотность ρ стремится к постоянному значению, которое соответствует следующему стационарному состоянию пучка при $W = W_0 \xi$:

$$u = -ax$$
, $v = -H_z x$, $w = az + W_0 x$, (17)
 $\varphi = \frac{1}{2}a^2z^2 + \frac{1}{2}\omega^2x^2$, $\rho = 2a^2 + H_z^2$.

Течение (17) является немоноэнергетическим с полной энергией

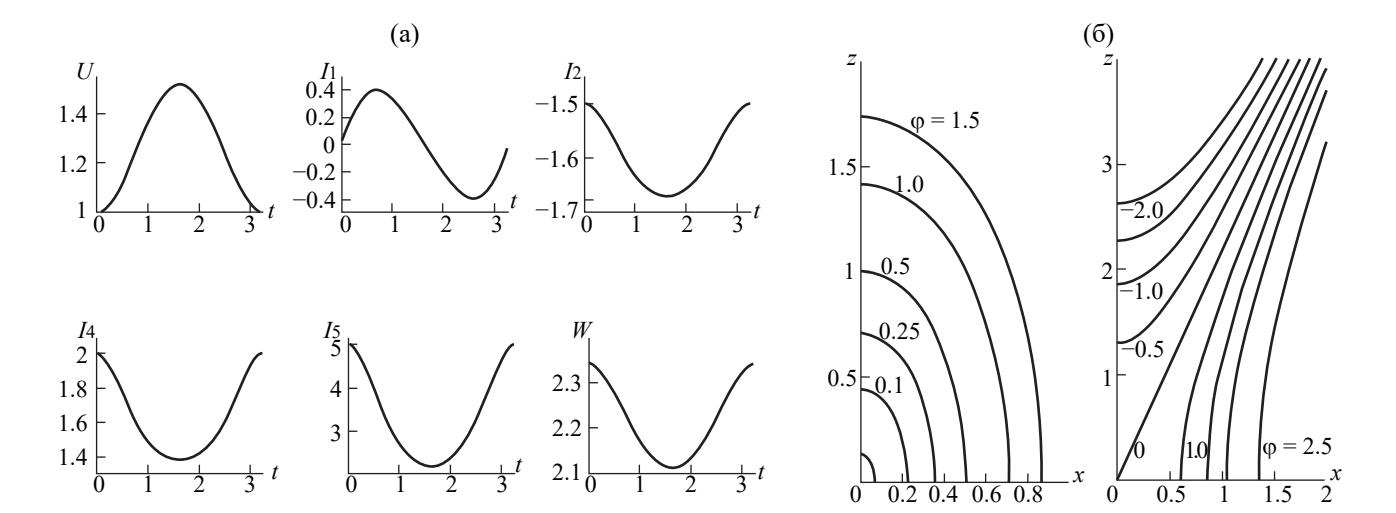


Рис. 2. Решение II при $H_z = 2$, $V_0 = 0.5$, $\rho_0 = 5$, C = 1: а) параметры потока в пределах периода; б) эквипотенциали $\varphi = \text{const}$ при t = 0 (слева), t = T/2 (справа).

$$\mathcal{H} = \frac{1}{2}\vec{v}^2 - \varphi = \frac{1}{2}W_0x(2az + W_0x)$$
 (18)

и эллиптическими эквипотенциалями в плоскости (x,z), рис. Зв. Пространственные траектории проецируются на плоскость (x,y) прямыми, на плоскость $(\overline{x},\overline{z})$, повернутую относительно (x,z) на угол α , — гиперболами (см. рис. Зв):

$$y - y_0 = \frac{H_z}{a}x, \quad \frac{W_0}{2a}x^2 + xz = \text{const};$$

$$\frac{2\overline{x}^2}{d + W_0/2a} + \frac{2\overline{z}^2}{d - W_0/2a} = \text{const},$$

$$d = \sqrt{(W/2a) + 1}, \quad \text{tg} 2\alpha = \frac{1}{(W/a)}.$$
(19)

Решение IV. Для электростатического потока $H_{\scriptscriptstyle 7}=0$ имеем

$$u = \frac{f'}{f}x + I_1(t), \quad v = V(\xi), \quad \xi = \frac{x}{f} - \int \frac{I_1}{f} dt, \quad (20)$$

$$\phi = \frac{1}{2} \frac{f''}{f} x^2 + \frac{\Psi'}{f} x, \quad \rho = I_5(t), \quad w = W(\xi);
I'_1 + \frac{f'}{f} I_1 = \frac{\Psi'}{f}, \quad I'_5 + \frac{f'}{f} I_5 = 0, \quad I_5 = \frac{f''}{f},$$

где $\Psi(t), V(\xi), W(\xi)$ — произвольные функции.

Решение уравнений (20) определено формулами

$$I_{1} = \frac{\Psi}{f}, \quad I_{5} = \frac{\rho_{0}}{f}, \quad f = \frac{1}{2}\rho_{0}t^{2} + f_{1}t + f_{0},$$

$$\xi = \frac{x}{f} - \int \frac{\Psi}{f^{2}}dt,$$
 (21)

описывающими одномерное течение между плоскостями x=0 и $x=x_*$ с потенциалами (0,0) и $\phi(t,x_*)$ и с плотностью зарядов, уменьшающейся по времени. Численный пример (рис. 4) построен для случая

$$\Psi = 2 + \sin \omega t$$
, $u(t, x_*) = \frac{f'}{f} x_* + \frac{2 + \sin \omega t}{f}$, (22)

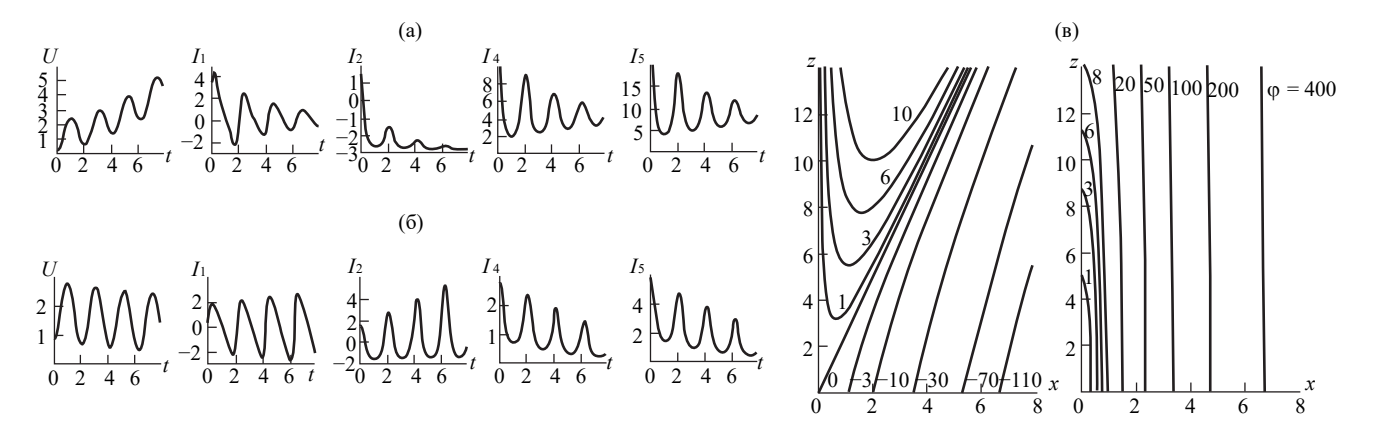


Рис. 3. Решение III, параметры потока: а) $a=-0.2, H_z=3, V_0=1, \rho_0=8;$ б) $a=0.2, H_z=3, V_0=4, \rho_0=8;$ в) траектории (слева) и эквипотенциали (справа) стационарного потока в пределе $t\to\infty$ при a=-0.2.

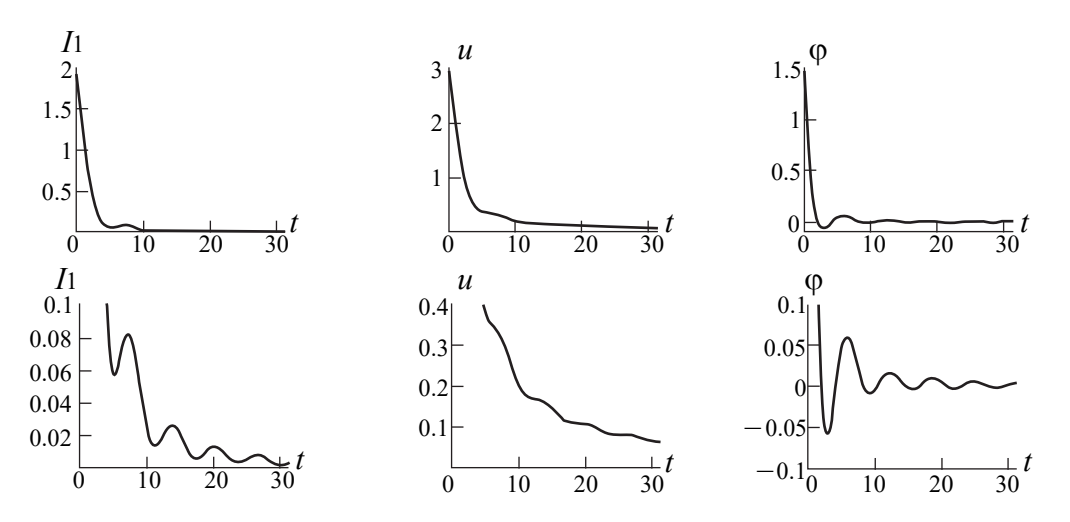


Рис. 4. Параметры потока для решения IV при $\psi = 2 + \sin \omega t$.

$$\varphi(t,x_*) = \frac{1}{2} \frac{f''}{f} x_*^2 + \frac{\omega \cos \omega t}{f} x_*.$$

Начальная скорость инжекции пучка достаточна, чтобы сохранилось ее положительное значение при падении $\phi(t,x_*)$ вплоть до осцилляций вблизи $\phi=0$ с уменьшающейся амплитудой.

Решение V. Для параметров потока и соответствующих уравнений получаем

$$u = \frac{f'}{f}x + I_{1}(t), \quad v = V(\xi), \quad w = \frac{h'}{h}z + \frac{1}{h}W(\xi), \quad (23)$$

$$\varphi = \frac{1}{2}\frac{f''}{f}x^{2} + \frac{1}{2}\frac{h''}{h}z^{2} + \frac{\Psi'}{f}x, \quad \rho = I_{5}(t),$$

$$\xi = \frac{x}{f} - \int \frac{I_{1}}{f}dt;$$

$$I'_{1} + \frac{f'}{f}I_{1} = \frac{\Psi'}{f}, \quad I'_{5} + \left(\frac{f'}{f} + \frac{h'}{h}\right)I_{5} = 0,$$

$$\frac{f''}{f} + \frac{h''}{h} = I_{5},$$

где $\Psi(t), V(\xi), W(\xi)$ — произвольные функции.

Система из (23) может быть трансформирована к виду

$$I_{1} = \frac{\Psi}{f}, \quad \rho = \frac{\rho_{0}}{fh}, \quad \frac{f''}{f} + \frac{h''}{h} = \frac{\rho_{0}}{fh},$$

$$\xi = \frac{x}{f} - \int \frac{\Psi}{f^{2}} dt.$$
(24)

Ниже рассмотрим две специализации функции $\Psi(t)$:

$$\Psi = f^{2} f' \cos f, \quad \xi = \frac{x}{f} - \sin f,$$

$$\frac{\Psi'}{f} = \left(f f'' + 2f'^{2} \right) \cos f - f f'^{2} \sin f;$$
(25)

$$\Psi = f^2, \ \xi = \frac{x}{f} - t, \ \frac{\Psi'}{f} = 2f'.$$

При $h = \exp(\omega t)$ имеем

$$f = A\cos\omega t + B\sin\omega t + \frac{\rho_0}{2\omega^2}\exp(-\omega t), \quad (26)$$

$$\rho = \frac{\rho_0}{f} \exp(-\omega t).$$

Приведенные на рис. 5а характеристики соответствуют первому варианту функции на рис. 56 представлены эквипотенциали $\phi = \text{const}$ в моменты t = 0, $\pi/2$, π в плоскости (x,z), трансформирующиеся от гипербол к эллипсам и при $t = 3\pi/2$ в пределах рисунка становящиеся практически прямыми, параллельными оси z. На неэквипотенциальной плоскости x = 0 с $\varphi = \omega^2 z^2/2$ соменяется от пучка к поглошению и снова к инжекции в двумерное поле $\phi(t,x,z)$ (рис. 5a), z-компонента скорости отвечает за искривление траекторий, в то время как сносовая скорость у может быть произвольной функцией ξ. Плотность, не зависящая от вида Ψ, проходит через максимум и стремится к константе $\rho \to 2\omega^2$, $\omega < 0$.

При $\Psi=f^2$ и $W(\xi)=W\exp(-\omega\xi)$ функция w определена выражением

$$w = \omega z + \overline{w}, \quad \overline{w} = W_0 \exp(-\omega x/f).$$
 (27)

Функции Ψ , Ψ'/f , $\xi(t,1)$, $\overline{w}(t,1)$ представлены на рис. 5в. Деформация кривых \ddot{o} = const во времени аналогична предыдущему случаю (см. рис. 5б).

Частный случай решения (26), (27) при A=B=0, $\omega>0$

$$u = -\omega x + \frac{\rho_0}{2\omega^2} \exp(-at), \quad w = \omega z + \overline{w},$$
 (28)

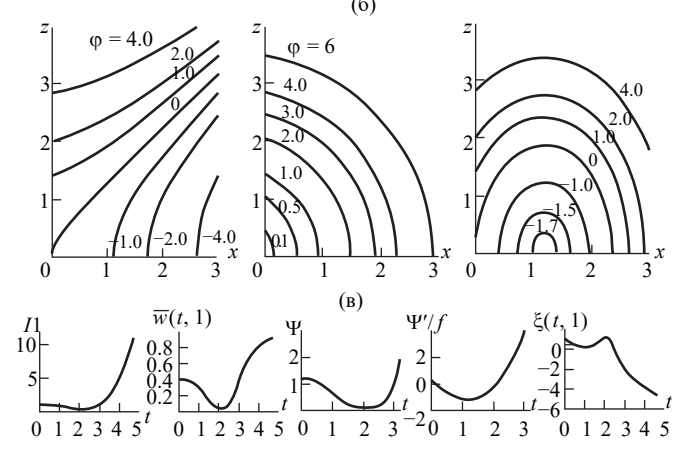


Рис. 5. Решение V при A=1, $\rho_0=0.2$, $\omega=-1$: a) параметры потока при $\Psi=f^2f'\cos f$; б) эквипотенциали $\phi=$ const при t=0, $t=\pi/2$, $t=\pi$ (слева направо); в) параметры потока при $\Psi=f^2$.

$$\varphi = \frac{1}{2}\omega^2 \left(x^2 + z^2\right) - \frac{\rho_0}{\omega} \exp(-\omega t)$$

в пределе $t \to \infty$ описывает потенциальный электростатический поток с равнобочными гиперболами xz = const в качестве траекторий [40]

$$u = -\omega x$$
, $w = \omega z$, $\varphi = \frac{1}{2}\omega^2(x^2 + z^2)$, $\rho = 2\omega^2$. (29)

Решение VI. Параметры потока и система обыкновенных уравнений определены выражениями

$$v_{R} = RI_{1}(t), \quad v_{\Psi} = RI_{2}(t),$$

$$\varphi = R^{2}I_{4}(t), \quad \rho = I_{5}(t),$$

$$w = R^{\nu}W(\xi)\exp(-\nu\int I_{1}dt), \quad \xi = \psi - \int I_{2}dt;$$

$$I'_{1} + I_{1}^{2} - I_{2}^{2} = 2I_{4} + I_{2}H_{z}, \quad I'_{2} + 2I_{1}I_{2} = -I_{1}H_{z},$$

$$I'_{5} + 2I_{1}I_{5} = 0, \quad 4I_{4} = I_{5}.$$
(30)

Трансформируем систему (30) следующим образом:

$$I_{1} = \frac{U'}{U}, \quad I_{2} = -\frac{1}{2}H_{z} + \frac{V_{0}}{U^{2}}, \quad I_{5} = \frac{\rho_{0}}{U^{2}}, \quad (31)$$

$$U'' - \frac{V_{0}^{2}}{U^{3}} - \frac{\rho_{0}}{2U} + \frac{1}{4}H_{z}^{2}U = 0.$$

Первый интеграл уравнения для U определен формулой

$$U'^{2} = -\frac{V_{0}^{2}}{U^{2}} + \rho_{0} \ln U - \frac{1}{4} H_{z}^{2} U^{2} + C = C - G(U).$$
 (32)

С подобной ситуацией мы уже встречались при рассмотрении решения III.

Решение (31) описывает сплошной бриллюэновский поток, радиус траекторий R = U в котором осциллирует во времени. В задачах о транспортировке стационарного пучка *z*-компонента скорости принимается постоянной. Для решения (31) помимо этого случая (v = 0, W = const) при v > 0 возможна сносовая скорость, равная нулю на оси пучка, зависящая от времени и периодически меняющаяся по азимуту:

$$w = \left(\frac{R}{U}\right)^{\mathsf{v}} W(\xi), \quad \xi = \psi + \frac{1}{2} H_{z} t - V_{0} \int \frac{dt}{U^{2}}. \quad (33)$$

На рис. 6 приведен пример ($T=2.166,\ U_1=1,\ U_2=2.246$) решения (31), когда для функции $W\left(\xi\right)$ принято выражение

$$W = 2 + \cos \xi. \tag{34}$$

Угловая скорость ω при $V_0=0$ постоянна, вариант $V_0\neq 0$ не приносит качественных изменений за исключением того, что ω зависит от времени подобно потенциалу или плотности.

2. РЕШЕНИЯ С НЕОДНОРОДНЫМ РАСПРЕДЕЛЕНИЕМ ПРОСТРАНСТВЕННОГО ЗАРЯДА

Решение VII. При произвольных функциях $V(\xi)$, $W(\xi)$ рассмотрим поток с параметрами

$$u = \frac{1}{t}I_{1}(x), \quad v = V(\xi), \quad w = \frac{c}{t}z + t^{-c}W(\xi), \quad (35)$$

$$\varphi = \frac{1}{2}\frac{c(c-1)}{t^{2}}z^{2} + \frac{1}{t^{2}}I_{4}(x), \quad \rho = \frac{1}{t^{2}}I_{5}(x),$$

$$\xi = t \exp\left(-\int \frac{dx}{I_{1}}\right);$$

$$I_{1}I'_{1} - I_{1} = I'_{4}, \quad (I_{1}I_{5})' + (c-2)I_{5} = 0,$$

$$I''_{4} = I_{5} - c(c-1).$$

Решение системы (35) сводится к соотношениям

$$I_{1} = \frac{dx}{d\tau} \equiv \dot{x}, \quad I_{1}I_{5} = J_{0} \exp(\alpha\tau), \quad \xi = t \exp(-\tau), (36)$$

$$I'_{4} = \frac{J_{0}}{2 - c} \exp(\alpha\tau) - c(c - 1)x + E_{0},$$

$$\ddot{x} - \dot{x} + \beta x = \frac{J_{0}}{\alpha} \exp(\alpha\tau) + E_{0},$$

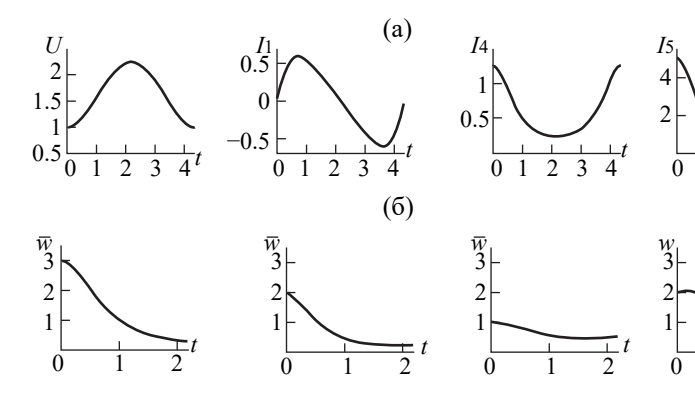


Рис. 6. Решение VI при $H_z = 2$, $V_0 = 0$, $\rho_0 = 5$, C = 1: а) параметры потока в пределах периода; б) z-компонента скорости $w = R^2 \overline{w}$, $\overline{w} = W(\xi) / U^2$ при $\psi = 0$, $\pi/2$, $\pi/2$ (слева направо).

$$x = \exp(\tau/2)(A\cos\omega\tau + B\sin\omega\tau) + \frac{J_0}{\gamma}\exp(\alpha\tau) + \frac{E_0}{\beta},$$

$$I_1 = \exp(\tau/2) \times \times \left[\left(\frac{1}{2}A + B\omega \right) \cos\omega\tau + \left(\frac{1}{2}B - A\omega \right) \sin\omega\tau \right] +$$

$$+ \frac{\alpha J_0}{\gamma}\exp(\alpha\tau),$$

$$I_4 = -\frac{1}{2}\beta x^2 + E_0 x + \frac{J_0}{\alpha}\int \exp(-\alpha\tau)\dot{x}d\tau;$$

$$\alpha = 2 - c, \quad \beta = c(c - 1), \quad \gamma = (2 - c)^2 \left(2 - c^2 \right),$$

$$\omega = \sqrt{\beta - 1/4}.$$

В качестве примера рассмотрим вариант с B=0: $x=A\Big[\exp(\tau/2)\cos\omega\tau-1\Big]+\frac{J_0}{\beta}\Big[\exp(\alpha\tau)-1\Big], \qquad (37)$ $I_1=A\exp(\tau/2)\Big[\frac{1}{2}\cos\omega\tau-\omega\sin\omega\tau\Big]+\frac{\alpha J_0}{\gamma}\exp(\alpha\tau), \qquad \phi=\frac{1}{t^2}\Phi(x,z), \quad \Phi=\frac{1}{2}\beta z^2-x^2+\beta\Big(1+\frac{J_0}{\gamma}\Big)x+\\ +\frac{A}{2}\frac{\exp(\tau/2)}{1/4+\omega^2}\Big\{\Big(\frac{1}{2}+\omega^2\Big)\tau\cos\omega\tau+\frac{\omega}{2}\tau\sin\omega\tau-\\ -\frac{1}{1/4+\omega^2}\Big[\frac{1}{4}\cos\omega\tau+\omega\Big(\frac{3}{4}+\omega^2\Big)\sin\omega\tau\Big]\Big\}+\\ +\frac{J_0}{\nu\alpha}\exp(\alpha\tau)(\alpha\tau-1);$

$$\frac{E_0}{\beta} = -A - \frac{J_0}{\gamma}.$$

Пучок инжектируется с плоскости x=0 с переменным потенциалом со скоростью $I_1(0)/t$, $t \ge 1$ (уравнения пучка допускают сдвиг по времени и декартовым координатам) в двумерное затухающее со временем поле, эквипотенциали которого изображены на рис. 7. Криволинейное движение в плоскости (x,z) определяет z-компонента скорости w с произвольной функцией $W(\xi)$. Развертка плоского движения в y-направлении возможна за счет произвольной сносовой скорости $V(\xi)$. Функция I_5 , через которую выражается плотность, проходит через максимум и стремится к константе.

Решение VIII. Функциональный вид решения и соответствующая система уравнений описываются соотношениями

$$u = t^{\beta} I_{1}(\xi), \quad v = t^{\alpha} I_{2}(\xi), \quad w = t^{\gamma} I_{3}(\xi), \quad (38)$$

$$\varphi = t^{2\alpha} I_{4}(\xi), \quad \rho = -I_{5}(\xi), \quad \xi = yt^{-\alpha - 1};$$

$$\left[I_{2} - (\alpha + 1)\xi \right] I'_{1} + \beta I_{1} = 0,$$

$$\left[I_{2} - (\alpha + 1)\xi \right] I'_{2} + \alpha I_{2} = I'_{4},$$

$$\left[I_{2} - (\alpha + 1)\xi \right] I'_{3} + \gamma I_{3} = 0,$$

$$\left[I_{2} - (\alpha + 1)\xi \right] I'_{5} + \left(I'_{2} - 2 \right) I_{5} = 0,$$

$$I''_{4} = I_{5}.$$

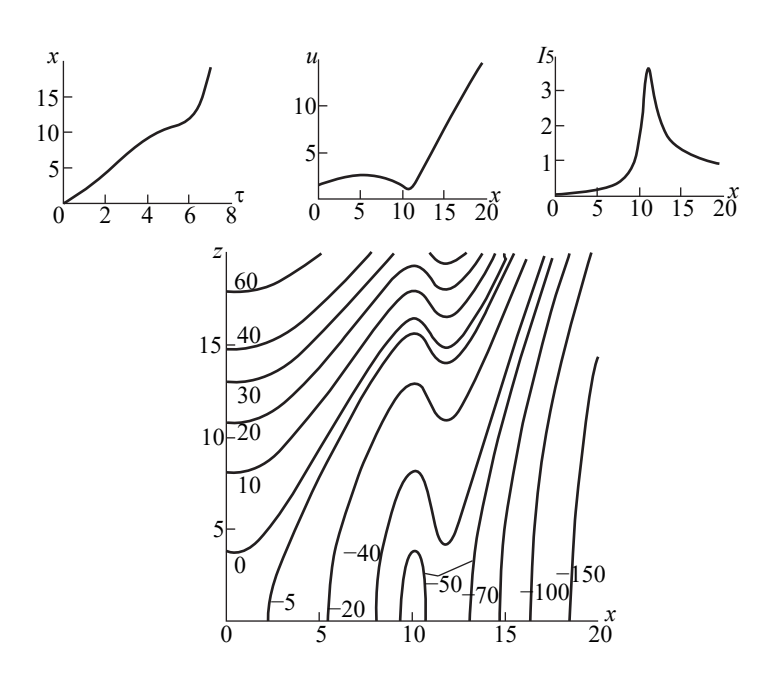


Рис. 7. Параметры потока для решения VII при A = 2.3, B = 0, c = 1.3, $J_0 = 0.1$ и эквипотенциали $\phi = \text{const.}$

Решение системы (38) определено формулами

$$I_{2} = \dot{\xi} + (\alpha + 1)\xi, \quad \dot{\xi} \equiv d\xi/d\tau,$$

$$I_{1} = U_{0} \exp(-\beta\tau),$$

$$I_{3} = W_{0} \exp(-\gamma\tau), \quad I_{5} = \frac{\rho_{0}}{\dot{\xi}} \exp[(1-\alpha)\tau],$$

$$\ddot{\xi} + (2\alpha + 1)\dot{\xi} + \alpha(\alpha + 1)\xi = \frac{\rho_{0}}{1-\alpha} \exp[(1-\alpha)\tau] + E_{0},$$

$$\xi = A \exp(-\alpha\tau) + B \exp[-(1+\alpha)\tau] +$$

$$+ \frac{\rho_{0}}{2(1-\alpha)} \exp[(1-\alpha)\tau] + \frac{E_{0}}{\alpha(\alpha + 1)},$$

$$I'_{4} = \frac{\rho_{0}}{1-\alpha} \exp[(1-\alpha)\tau] + E_{0},$$

$$I'_{4} = \frac{\rho_{0}}{1-\alpha} \exp[(1-\alpha)\tau] + E_{0},$$

$$I'_{4} = \frac{\rho_{0}}{1-\alpha} \exp[(1-\alpha)\tau] + E_{0},$$

$$+ \frac{(1+\alpha)B}{2\alpha} \exp[-(2\alpha\tau) + \frac{\rho_{0}}{4(1-\alpha)} \times] +$$

$$\times \exp[2(1-\alpha)\tau]$$

$$+ E_{0} \begin{cases} A \exp(-\alpha\tau) + B \exp[-(1+\alpha)\tau] + \\ + \frac{\rho_{0}}{2(1-\alpha)} \exp[(1-\alpha)\tau] \end{cases}.$$

Решение (38) имеет три частных случая, которые необходимо рассмотреть отдельно: $\alpha+1=0$, $\alpha-1=0$, $2\alpha+1=0$. Формула для ρ в (39) справедлива при любых α , в то время как выражение для I_4' при $\alpha=1$ изменяется:

$$I_4' = \rho_0 \tau. \tag{40}$$

Случай $\alpha + 1 = 0$. Уравнение для ξ , его решение и выражение для I_4 при $\alpha + 1 = 0$ принимают вид

$$\ddot{\xi} - \dot{\xi} = \frac{1}{2} \rho_0 \exp(2\tau),$$

$$\xi = A + B \exp(\tau) + \frac{1}{4} \rho_0 \exp(2\tau),$$
(41)

$$I_{ij} = \frac{ij}{ij}\rho \left[-B\exp(3\tau) + -\rho \exp(4\tau) \right].$$

Cлучай $\alpha - 1 = 0$. В этом случае имеем

$$\ddot{\xi} + 3\dot{\xi} + 2\xi = \rho_0 \tau, \xi = A \exp(-\tau) + B \exp(-2\tau) + \frac{1}{2}\rho_0 \tau - \frac{3}{4}\rho_0,$$
 (42)

$$I_4 = \rho_0 \begin{bmatrix} \frac{1}{4} \rho_0 \tau^2 + A \exp(-\tau)(\tau+1) + \\ + \frac{1}{2} B \exp(-2\tau)(2\tau+1) \end{bmatrix}.$$

Случай $2\alpha + 1 = 0$. Третий специальный случай определен формулами

$$\ddot{\xi} - \frac{1}{4}\xi = \frac{2}{3}\rho_{0} \exp\left(\frac{3}{2}\tau\right),$$

$$\xi = A \exp\left(\frac{1}{2}\tau\right) + B \exp\left(-\frac{1}{2}\tau\right) + \frac{16}{45}\rho_{0} \exp\left(\frac{3}{2}\tau\right),$$

$$I_{4} = \rho_{0} \begin{bmatrix} 2A \exp\left(\frac{1}{2}\tau\right)\left(\frac{1}{2}\tau - 1\right) + \\ + 2B \exp\left(-\frac{1}{2}\tau\right)\left(\frac{1}{2}\tau + 1\right) + \\ + \frac{32}{45}\rho_{0} \exp\left(\frac{3}{2}\tau\right)\left(\frac{3}{2}\tau - 1\right) \end{bmatrix}.$$
(43)

Решение (39) описывает одномерное течение между плоскостями y = 0 и y = 1 со значениями

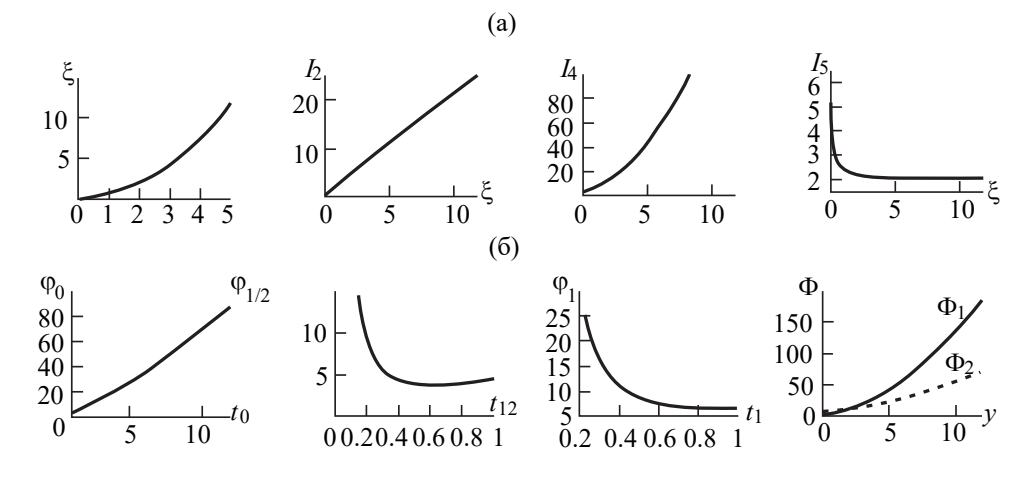


Рис. 8. Решение VIII при $A=1, B=0, \rho_0=2, \alpha=2/3$: а) параметры потока, б) потенциал $\phi(t,y_*), y_*=0, 0.5, 1:\phi_0,\phi_{1/2},\phi_1;\phi(t_*,y), t_*=1, 2:\Phi_1,\Phi_2$.

нциала $\phi_0 = t^{2\alpha} I_4(0), \quad \phi_1 = u^{2\alpha} {}_4({}^{-\alpha-1}).$ плоскости y=0 инжектируется ток $J_{v} = t^{\alpha-2} I_{2}(0) I_{5}(0)$. На рис. 8а,б представлены параметры потока как функции ξ , потенциал ϕ_0 , $\phi_{1/2}$, ϕ_1 в плоскостях y = 0, 1/2, 1 — как функция времени. Зависимость потенциала от координаты демонстрируют функции $\Phi_2 = 2^{2\alpha} I_4 \Big(2^{-\alpha - 1} y \Big)$ при t = 1, 2. С течением времени диод освобождается от зарядов. В плоскостях y = const возможна сносовая скорость с одинаковым законом изменения по τ (экспоненты) и ξ .

Решение IX. Параметры потока и система уравнений для соответствующих функций описываются соотношениями

$$u = \exp(\alpha t) I_{1}(\xi), \quad v = \exp(\alpha t) I_{2}(\xi),$$

$$\xi = x \exp(-\alpha t),$$

$$w = az + \exp(\gamma t) I_{3}(\xi),$$

$$\varphi = \frac{1}{2} a^{2} z^{2} + \exp(2\alpha t) I_{4}(\xi), \quad \rho = I_{5}(\xi);$$

$$(I_{1} - \alpha \xi) I'_{1} + \alpha I_{1} = I'_{4} + H_{z} I_{2},$$

$$(I_{1} - \alpha \xi) I'_{2} + \alpha I_{2} = -H_{z} I_{1},$$

$$(I_{1} - \alpha \xi) I'_{3} + (a + \gamma) I_{3} = 0,$$

$$(I_{1} - \alpha \xi) I'_{5} + (I'_{1} + a) I_{5} = 0,$$

$$I''_{4} = I_{5} - a^{2}.$$
EXECUTE:
$$V = \exp(\alpha t) I_{1}(\xi), \quad v = \exp(\alpha t) I_{2}(\xi),$$

$$I''_{4} = I_{5} - a^{2}.$$

$$V = \exp(\alpha t) I_{1}(\xi), \quad v = \exp(\alpha t) I_{2}(\xi),$$

$$I''_{4} = I_{5} - a^{2}.$$

$$V = \exp(\alpha t) I_{1}(\xi), \quad v = \exp(\alpha t) I_{2}(\xi),$$

$$I''_{4} = I_{5} - a^{2}.$$

$$V = \exp(\alpha t) I_{1}(\xi), \quad v = \exp(\alpha t) I_{2}(\xi),$$

$$I''_{4} = I_{5} - a^{2}.$$

$$V = \exp(\alpha t) I_{1}(\xi), \quad v = \exp(\alpha t) I_{2}(\xi),$$

$$I''_{4} = I_{5} - a^{2}.$$

$$V = \exp(\alpha t) I_{1}(\xi), \quad v = \exp(\alpha t) I_{2}(\xi),$$

$$I''_{4} = I_{5} - a^{2}.$$

$$V = \exp(\alpha t) I_{1}(\xi), \quad v = \exp(\alpha t) I_{2}(\xi),$$

$$I''_{4} = I_{5} - a^{2}.$$

$$V = \exp(\alpha t) I_{1}(\xi), \quad v = \exp(\alpha t) I_{2}(\xi),$$

$$I''_{4} = I_{5} - a^{2}.$$

$$V = \exp(\alpha t) I_{1}(\xi), \quad v = \exp(\alpha t) I_{2}(\xi),$$

$$I''_{4} = I_{5} - a^{2}.$$

$$V = \exp(\alpha t) I_{1}(\xi), \quad v = \exp(\alpha t) I_{2}(\xi),$$

$$I''_{4} = I_{5} - a^{2}.$$

$$V = \exp(\alpha t) I_{1}(\xi), \quad v = \exp(\alpha t) I_{2}(\xi),$$

$$I''_{4} = I_{5} - a^{2}.$$

$$V = \exp(\alpha t) I_{1}(\xi), \quad v = \exp(\alpha t) I_{2}(\xi),$$

$$I''_{4} = I_{5} - a^{2}.$$

$$V = \exp(\alpha t) I_{1}(\xi), \quad v = \exp(\alpha t) I_{2}(\xi),$$

$$I''_{4} = I_{5} - a^{2}.$$

$$V = \exp(\alpha t) I_{1}(\xi), \quad v = \exp(\alpha t) I_{2}(\xi),$$

$$I''_{4} = I_{5} - a^{2}.$$

$$V = \exp(\alpha t) I_{1}(\xi), \quad v = \exp(\alpha t) I_{2}(\xi),$$

$$V = \exp(\alpha t) I_{1}(\xi), \quad v = \exp(\alpha t) I_{2}(\xi),$$

$$V = \exp(\alpha t) I_{1}(\xi), \quad v = \exp(\alpha t) I_{2}(\xi),$$

$$V = \exp(\alpha t) I_{2}(\xi), \quad v = \exp(\alpha t) I_{2}(\xi),$$

$$V = \exp(\alpha t) I_{2}(\xi), \quad v = \exp(\alpha t) I_{2}(\xi),$$

$$V = \exp(\alpha t) I_{2}(\xi), \quad v = \exp(\alpha t) I_{2}(\xi),$$

$$V = \exp(\alpha t) I_{2}(\xi), \quad v = \exp(\alpha t) I_{2}(\xi),$$

$$V = \exp(\alpha t) I_{2}(\xi), \quad v = \exp(\alpha t) I_{2}(\xi),$$

$$V = \exp(\alpha t) I_{2}(\xi), \quad v = \exp(\alpha t) I_{2}(\xi),$$

$$V = \exp(\alpha t) I_{2}(\xi), \quad v = \exp(\alpha t) I_{2}(\xi),$$

$$V = \exp(\alpha t) I_{2}(\xi), \quad v = \exp(\alpha t) I_{2}(\xi),$$

$$V = \exp(\alpha t) I_{2}(\xi), \quad v = \exp(\alpha t) I_{2}(\xi),$$

$$V = \exp(\alpha t) I_{2}(\xi), \quad v = \exp(\alpha t) I_{2}(\xi),$$

$$V = \exp(\alpha t) I_{2}(\xi), \quad v = \exp(\alpha t) I_$$

Решение уравнений (44) имеет вил

Решение уравнении (44) имеет вид
$$I_{1} = \dot{\xi} + \alpha \xi, \quad \dot{\xi} \equiv d\xi/d\tau, \quad \omega^{2} = a^{2} + H_{z}^{2}, \quad (45)$$

$$I_{2} = -H_{z}\xi + V_{0} \exp(-\alpha \tau),$$

$$I_{3} = W_{0} \exp[-(a + \gamma)\tau],$$

$$I_{5} = \frac{\rho_{0}}{\dot{\xi}} \exp[-(\alpha + a)\tau],$$

$$\ddot{\xi} + 2\alpha \dot{\xi} + (\alpha^{2} + \omega^{2})\xi =$$

$$= -\frac{\rho_{0}}{\alpha + a} \exp[-(\alpha + a)\tau] + H_{z}V_{0} \exp(-\alpha \tau) + E_{0},$$

$$\xi = A[\exp(-\alpha \tau)\cos\omega\tau - 1] + B\exp(-\alpha \tau)\sin\omega\tau -$$

$$-\overline{\rho_{0}} \left\{ \exp[-(\alpha + a)\tau] - 1 \right\} + \overline{V_{0}} \left[\exp(-\alpha \tau) - 1 \right];$$

$$\overline{\rho_{0}} = \frac{\rho_{0}}{(\alpha + a)(a^{2} + \omega^{2})}, \quad \overline{V_{0}} = \frac{H_{z}V_{0}}{\omega^{2}},$$

$$\frac{E_{0}}{\alpha^{2} + \omega^{2}} = \overline{\rho_{0}} - A - \overline{V_{0}};$$

$$\begin{split} I_4 &= -\frac{\rho_0}{\alpha + a} \bigg\{ \exp \Big[- \big(2\alpha + a \big) \tau \Big] \Big[\big(\Omega_1 A - \Omega_2 B \big) \times \\ &\times \cos \omega \tau + \big(\Omega_2 A + \Omega_1 B \big) \sin \omega \tau + \frac{\alpha}{2\alpha + a} \overline{V_0} \bigg] \\ &\qquad \qquad - \frac{\overline{\rho_0}}{2} \exp \Big[-2 \big(\alpha + a \big) \tau \Big] \bigg\}; \\ \Omega_1 &= \frac{\omega^2 + \alpha \big(2\alpha + a \big)}{\omega^2 + \big(2\alpha + a \big)^2}, \quad \Omega_2 &= \frac{\omega \big(\alpha + a \big)}{\omega^2 + \big(2\alpha + a \big)^2}. \end{split}$$

Решение (44) имеет два специальных случая: $2\alpha + a = 0$ и $\alpha + a = 0$.

Cлучай $2\alpha + a = 0$. Выражение для I_4 принимает

$$I_{4} = -\frac{\rho_{0}}{\alpha + a} \left\{ \frac{\omega A + \alpha B}{\omega} \cos \omega \tau - \frac{\alpha A - \omega B}{\omega} \sin \omega \tau - (46) \right.$$
$$\left. -\alpha \overline{V}_{0} \tau - \frac{1}{2} \overline{\rho}_{0} \exp \left[-2(\alpha + a)\tau \right] \right\} - \frac{1}{2} a^{2} \xi^{2} + E_{0} \xi.$$

Случай $\alpha + a = 0$. Отличные от формул (45) функции описываются выражениями

$$\ddot{\xi} + 2\alpha\dot{\xi} + (\alpha^2 + \omega^2)\xi = \rho_0 \tau + V_0 H_z \exp(-\alpha \tau) + E_0,$$

$$\xi = A \Big[\exp(-\alpha \tau) \cos \omega \tau - 1 \Big] + B \exp(-\alpha \tau) \sin \omega \tau + E_0 + E_0$$

$$+\frac{\rho_0}{\alpha^2+\omega^2}\tau+\overline{V_0}\Big[\exp(-\alpha\tau)-1\Big], \quad I_5=\frac{\rho_0}{\dot{\xi}};$$

$$E_0 = \frac{2\alpha}{\alpha^2 + \omega^2} \rho_0 - (\alpha^2 + \omega^2) (A + \overline{V_0});$$

$$I_4 = \rho_0 \left\{ \tau \exp(-\alpha \tau) (A \cos \omega \tau + B \sin \omega \tau) + \right.$$

$$+\frac{\exp(-\alpha\tau)}{\alpha^2-\omega^2}\left[\left(\alpha A+\omega B\right)\cos\omega\tau-\left(\omega A-\alpha B\right)\sin\omega\tau\right]\right\}+$$

$$+\frac{1}{2}\frac{\rho_0}{\alpha^2+\omega^2}\tau^2+\overline{V_0}\exp(-\alpha\tau)(\alpha\tau+1)-\frac{1}{2}\alpha^2\xi^2+E_0\xi.$$

Решение (45) соответствует инжекции зарядов с плоскости x = 0 со скоростью $u = \exp(\alpha t)I_1(0)$ в двумерное поле с потенциалом $\phi(t,x,z)$. Криволинейное движение в плоскости (x,z) определяет вторая компонента скорости w(t, x, z). Развертка в *у*-направлении осуществляется за счет v(t,x). На рис. 9а приведен пример расчета характеристик потока в случае $\alpha + a = 0$, $\alpha > 0$.

Функции от ξ представляют собой начальные распределения параметров по длине при t=0, $\xi=x$. Для получения временных зависимостей выбрано сечение $x=x_*$, координата ξ для которого связана с t соотношением

$$t = -\frac{1}{\alpha} \ln \frac{\xi}{x_*}.$$
 (48)

Эквипотенциальные поверхности φ = const в плоскости (x,z) при t=0 и t=5 построены на рис. 9б. Эффект, связанный с изменением знака α , демонстрирует рис. 10. Три варианта потоков, соответствующих общему случаю (45) и специальному случаю $2\alpha + a = 0$, приведены на рис. 11a-11в. При $\alpha > 0$ скорость и потенциал экспоненциально растут с выходом плотности на постоянное значение. Для $\alpha < 0$ пространство с течением времени освобождается от зарядов.

Сингулярная стартовая поверхность и поверхности отражения. Обеспечивая равенства $\dot{\xi}(0) = 0$, $\dot{\xi}(0) = \ddot{\xi}(0) = 0$, приходим к асимптотикам $x \sim \tau^2$, $x \sim \tau^3$, соответствующим эмиссии в T- и ρ -режимах. Эти условия могут быть выполнены за счет произвольных постоянных A, B. В рассмотренных примерах константы подбирались так, чтобы исключить образование виртуальных катодов. Существование такой дополнительной особой поверхности может быть полезно при тестировании, так как дает возможность выяснить, насколько близко к ней работают регулярные алгоритмы, учитывая, что поверхности отражения представляют собой реальный физический феномен.

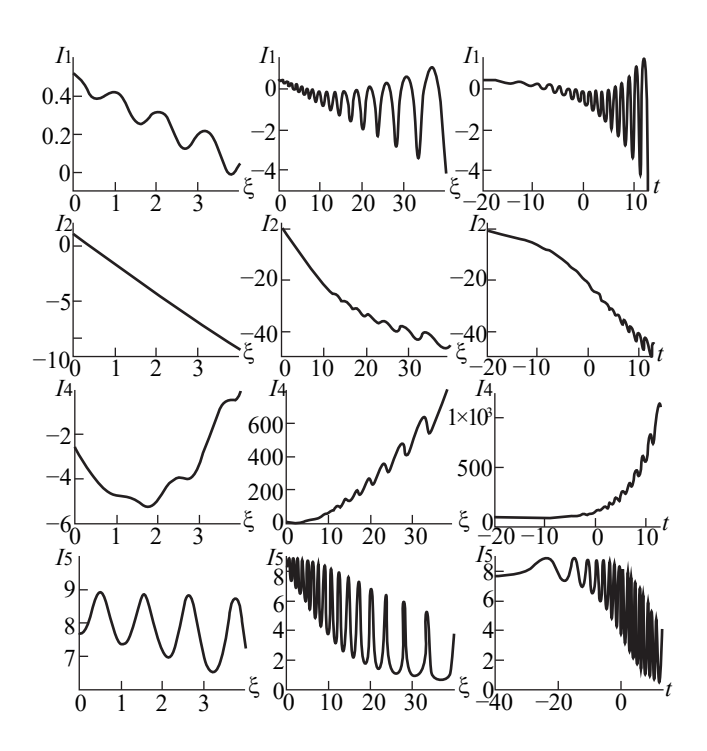
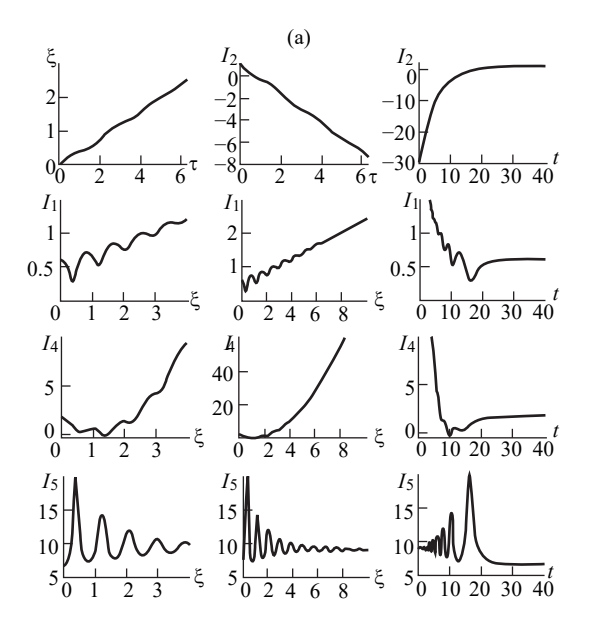


Рис. 10. Параметры потока для решения IX, $\alpha+a=0$, при A=0, B=0.012, $\alpha=-0.125$, $H_z=3$, $V_0=1$, $\rho_0=4$.

Виртуальный катод реализуется в потоке, если уравнение $\dot{\xi}(\tau) = 0$ имеет корень, отличный от $\tau = 0$. Свободные константы решения могут обеспечить эту ситуацию.



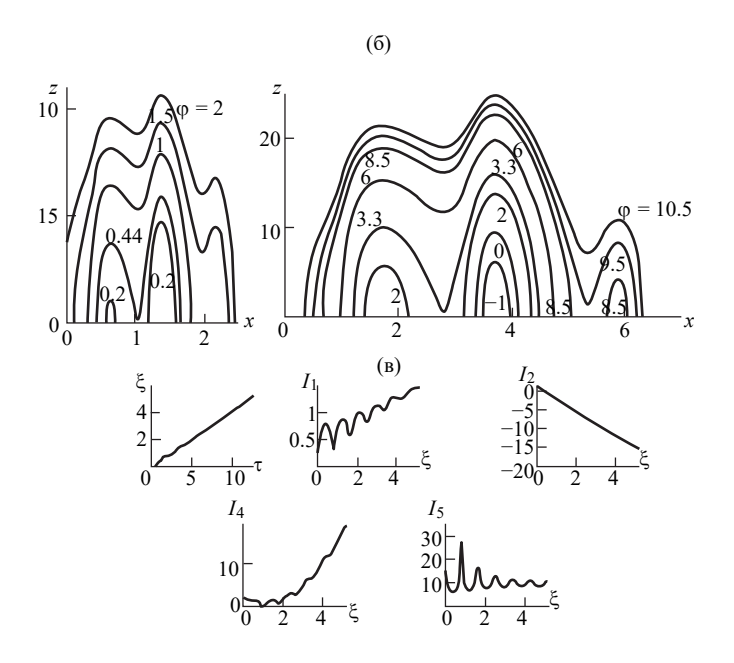


Рис. 9. Решение IX, $\alpha + a = 0$ при A = 0, B = 0.075, $\alpha = 0.2$, $H_z = 3$, $V_0 = 1$, $\rho_0 = 4$, $x_* = 10$: а) параметры потока, б) эквипотенциали $\phi = \text{const}$ при t = 0 (слева), t = 5 (справа), в) эмиссия в T-режиме при A = 0, B = -0.124.

На рис. 9в приведены параметры электронного потока при выполнении условий T-режима для эмиссии в x-направлении. Видно, что наличие сингулярной стартовой поверхности не сказалось кардинальным образом на осцилляционных характеристиках пучка.

Решение X. Решение определяет стационарный электронный поток более общего вида, чем (17), описываемый формулами

$$u = u(x), \quad v = v(x), \quad w = az + W(x), \quad (49)$$

$$\varphi = \frac{1}{2}a^{2}z^{2} + \Phi(x), \quad \rho = \rho(x);$$

$$uu' = \Phi' + vH_{z}, \quad v' = -H_{z}, \quad (\rho u)' + a\rho = 0,$$

$$\Phi'' = \rho - a^{2}, \quad uW' + aW = 0;$$

$$u = \frac{dx}{dt} \equiv \dot{x}, \quad v = V_{0} - H_{z}x, \quad \rho = \frac{J_{0}}{u}\exp(-at),$$

$$\Phi = -\frac{1}{2}a^{2}x^{2} + E_{0}x - \frac{J_{0}}{a}\int \dot{x}\exp(-at)dt,$$

$$\ddot{x} + \omega^{2}x = -\frac{J_{0}}{a}\exp(-at) + V_{0}H_{z} + E_{0}, \quad \omega^{2} = a^{2} + H_{z}^{2},$$

$$x = A\cos\omega t + B\sin\omega t - \overline{J_{0}}\exp(-at) + E_{0};$$

$$\overline{J_{0}} = \frac{J_{0}}{a(a^{2} + \omega^{2})}, \quad \overline{E_{0}} = \frac{E_{0} + V_{0}H_{z}}{\omega^{2}}.$$

Чтобы избежать образования виртуального катода, параметр a должен быть отрицательным и небольшим по модулю для компенсации подавляющего действия экспоненты в выражении для x. Конкретизируем общее решение (49) на случай двух режимов: ρ -режим эмиссии с плоскости x = 0;

инжекция с ненулевой скоростью с той же поверхности.

Эмиссия в ρ -режиме. Формулы, определяющие этот случай, соответствуют асимптотике $x \sim t^3$:

$$x = \overline{J_0} \left[\cos \omega t - \exp(\alpha t) + \frac{\alpha}{\omega} \sin \omega t \right] - \frac{J_0}{\alpha \omega^2} (1 - \cos \omega t),$$

$$u = \frac{J_0}{\alpha^2 + \omega^2} \left[\exp(\alpha t) - \cos \omega t - \frac{\alpha}{\omega} \sin \omega t \right],$$

$$W = w_0 \exp(\alpha t),$$

$$\Phi = -\frac{1}{2} \alpha^2 x^2 - \frac{J_0}{\alpha} x - \frac{1}{2} \exp(2\alpha t) - \frac{1}{\omega} \exp(\alpha t) \sin \omega t \right];$$

$$y - y_0 = \frac{H_z \overline{J_0}}{\alpha} \times \left[\frac{\alpha^2}{\omega^2} \left(\cos \omega t + \frac{\alpha}{\omega} \sin \omega t \right) + \exp(\alpha t) \right] + \frac{H_z J_0}{\alpha \omega^2} t,$$

$$z = z_0 \exp(-\alpha t) + \frac{w_0}{\alpha} sh(\alpha t); \quad \alpha \equiv |a|.$$
(50)

Плоскость x=0 является особой поверхностью, причем плотность тока на ней по y-, z-направлениям бесконечна, однако ток в полосе любой толщины — конечная величина. Старт частиц происходит по касательной. На рис. 12 представлены функции, определяющие решение, траектории в проекции на плоскости (x,y), (x,z) и эквипотенциали.

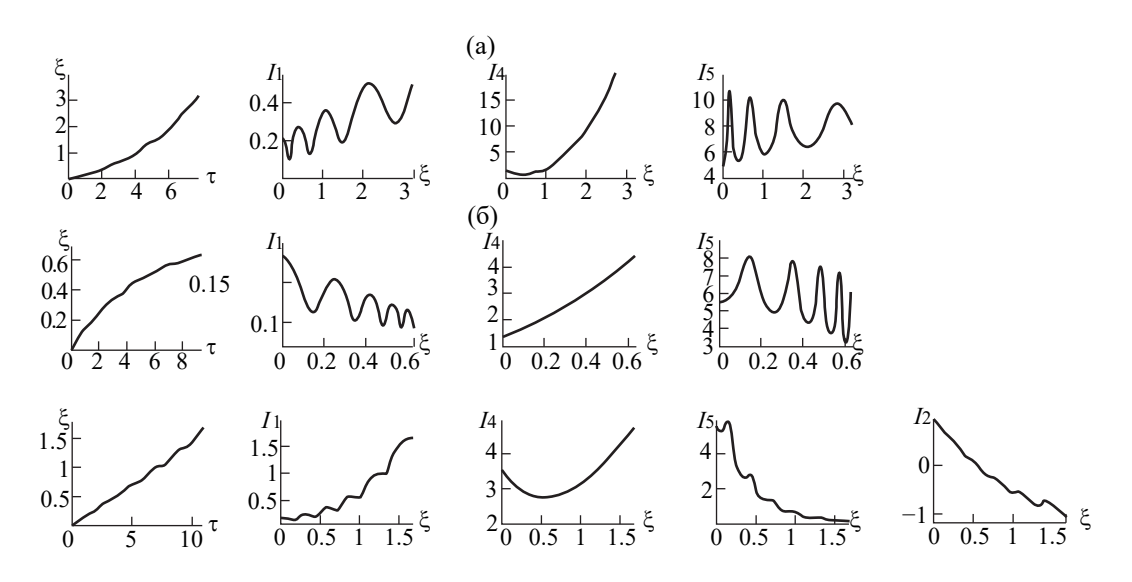


Рис. 11. Решение IX, общий случай, параметры потока: a) $A=0,~B=0.02,~a=-0.125,~\alpha=-0.125,~H_z=3,~V_0=1,~\rho_0=1;~$ б) $A=0,~B=0.01,~a=0.125,~\alpha=0.125,~H_z=3,~V_0=1,~\rho_0=1;~$ в) $A=0,~B=0.01,~a=0.25,~\alpha=-0.125,~H_z=3,~V_0=1,~\rho_0=1,~\rho_0=1.$

Инжекция с ненулевой скоростью. Параметры потока описываются соотношениями

$$x = A(\cos \omega t - 1) - \overline{J}_0 \left[\exp(\alpha t) - 1 \right],$$
 (51)

$$u = -A\omega \sin \omega t + \frac{J_0}{\alpha^2 + \omega^2} \exp(\alpha t),$$

$$\varphi = \frac{1}{2}\alpha^2 (z^2 - x^2) + E_0 x +$$

$$+ \frac{J_0}{\alpha} \left[-A \frac{\omega}{\alpha^2 + \omega^2} (\alpha \sin \omega t - \omega \cos \omega t) - \frac{1}{2} \overline{J}_0 \exp(2\alpha t) \right],$$

$$y - y_0 = -\frac{H_z}{\omega} A \sin \omega t - \frac{H_z J_0}{\alpha^2 + \omega^2} \exp(\alpha t) +$$

$$+ \left[\left(-A + \overline{J}_0 \right) H_z + V_0 \right] t;$$

$$E_0 = \left(-A + \overline{J}_0 \right) \omega^2 - V_0 H_z.$$

Частицы покидают стартовую плоскость x = 0 с наклоном

$$\frac{dz}{dx} = \frac{\alpha^2 + \omega^2}{J_0} (w_0 - \alpha z). \tag{52}$$

Функции, определяющие решение, и геометрия потока приведены на рис. 13.

Решение XI. Параметры электронного потока и система обыкновенных уравнений для них определены соотношениями

$$u = x^{1-\gamma}I_{1}(\xi), \quad v = x^{\alpha}I_{2}(\xi), \quad w = \frac{c}{t}z + x^{\beta}I_{3}(\xi), \quad (53)$$

$$\varphi = \frac{c(c-1)}{2t^{2}}z^{2} + x^{2(1-\gamma)}I_{4}(\xi),$$

$$\rho = x^{-2\gamma}I_{5}(\xi), \quad \xi = \frac{x^{\gamma}}{t};$$

$$\xi(\gamma I_{1} - \xi)I'_{1} = \gamma \xi I'_{4} + (1-\gamma)(2I_{4} - I_{1}^{2}),$$

$$\xi(\gamma I_{1} - \xi)I'_{2} + \alpha I_{1}I_{2} = 0,$$

$$\xi(\gamma I_{1} - \xi)I'_{3} + (\beta I_{1} + c\xi)I_{3} = 0,$$

$$\xi(\gamma I_{1} - \xi)I'_{5} + [\xi(\gamma I'_{1} + c) + (1 - 3\gamma)I_{1}]I_{5} = 0,$$

$$\gamma^{2}\xi^{2}I''_{4} + 3\gamma(1-\gamma)\xi I'_{4} +$$

$$+ 2(1-\gamma)(1-2\gamma)I_{4} + c(c-1)\xi^{2} = I_{5}.$$

В отличие от ранее рассмотренных решений, выражавшихся через элементарные функции или допускавших качественное толкование (решения II, VI), электронный поток вида (53) без ограничения общности может быть исследован только численно. Вместе с тем структура его параметров при $\gamma = 1/3$ позволяет проанализировать вариант эмиссии в ρ -режиме с сингулярной плоскости x = 0.

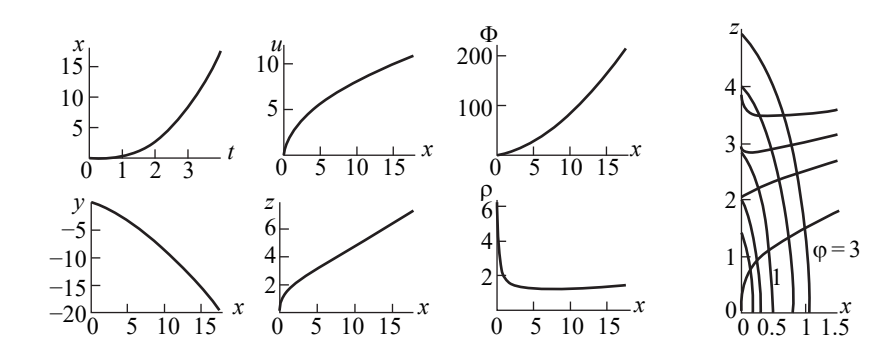


Рис. 12. Решение X, эмиссия в ρ -режиме при $J_0 = 2$, $H_z = 1$, a = -0.5, $w_0 = 1$; параметры потока, эквипотенциали ϕ = const и траектории в плоскости (x, z).

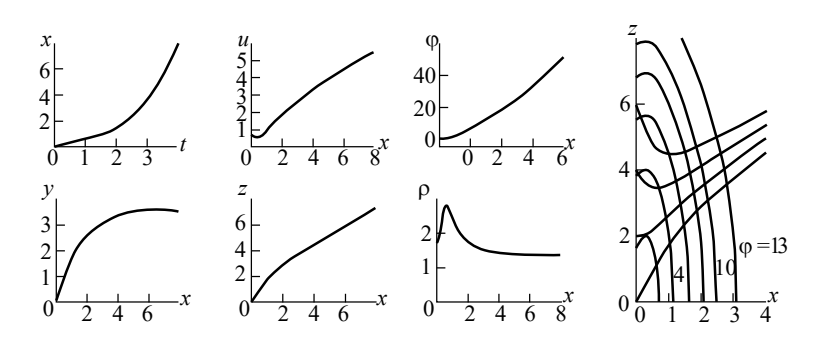


Рис. 13. Решение X, режим инжекции при A = 0.5, B = 0, $J_0 = 1$, $H_z = 1$; параметры потока, траектории в плоскости (x, y), эквипотенциали $\phi = \text{const}$ и траектории в плоскости (x, z).

Систему (53) в общем случае удается представить в виде одного нелинейного (в отличие от решений VII—IX) уравнения третьего порядка относительно ξ , изменив статус этой величины (искомая функция вместо независимой переменной), и отдельного уравнения первого порядка для I_4 :

$$\xi^{\mu}\ddot{\xi} + \xi^{\mu} \left(1 + \frac{5\mu}{2} \frac{\dot{\xi}}{\xi} \right) \ddot{\xi} + \frac{\mu}{2} \left(\frac{\mu}{2} - 1 \right) \xi^{\mu-1} \dot{\xi}^{3} + (54)$$

$$+ \frac{\mu}{2} (\mu + 1) \xi^{\mu-1} \dot{\xi}^{2} + \frac{\mu}{2} \left(\frac{\mu}{2} + 1 \right) \xi^{\mu} \dot{\xi} + c(c-1) \xi^{\mu} \dot{\xi} =$$

$$= \rho_{0} \xi^{\mu/2} \exp \left[-\left(c - 1 + \frac{\mu}{2} \right) \tau \right], \quad \gamma = \frac{2}{2 + \mu};$$

$$I_{1} = \frac{1}{\gamma} \left(\dot{\xi} + \xi \right), \quad I_{2} = V_{0} \xi^{-\alpha/\gamma} \exp \left(-\frac{\alpha}{\gamma} \tau \right),$$

$$I_{3} = W_{0} \xi^{-\beta/\gamma} \exp \left[-\left(c + \frac{\beta}{\gamma} \right) \tau \right],$$

$$I_{5} = \frac{\rho_{0}}{\dot{\xi}} \xi^{3-1/\gamma} \exp \left[-\left(c - 1 + \frac{\mu}{2} \right) \tau \right].$$

Эмиссия в р-режиме. Система (54) в этом случае принимает вид

$$\ddot{\xi} + \left(1 + 10\frac{\dot{\xi}}{\xi}\right)\ddot{\xi} + 2\frac{\dot{\xi}^{3}}{\xi^{2}} + 10\frac{\dot{\xi}^{2}}{\xi} + \left[6 + c(c - 1)\right]\dot{\xi} =$$

$$= \frac{\rho_{0}}{\xi^{2}} \exp\left[-(c + 1)\tau\right];$$

$$I_{1} = 3\left(\dot{\xi} + \xi\right), \quad I_{2} = V_{0}\xi^{-3\alpha} \exp\left(-3\alpha\tau\right),$$

$$I_{3} = W_{0}\xi^{-3\beta} \exp\left[-(c + 3\beta)\tau\right],$$

$$I_{5} = \frac{\rho_{0}}{\dot{\xi}} \exp\left[-(c + 1)\tau\right];$$

$$\xi \dot{I}_{4} + 4\dot{\xi}I_{4} = 9\left(\xi\dot{\xi}\ddot{\xi} + 2\dot{\xi}^{3} + 5\xi\dot{\xi}^{2} + 2\xi^{2}\dot{\xi}\right).$$
(55)

Для интегрирования уравнений из (55) необходимо построить асимптотики функций ξ , I_4 вблизи $\xi = \tau = 0$. Для первой из них имеем

$$\xi = \xi_1 \tau + \xi_2 \tau^2 + \dots + \xi_6 \tau^6,$$

$$\xi_1^3 = \frac{\rho_0}{2}, \quad \xi_1 \xi_2 = -\frac{\rho_0 (6 - c)}{8(1 + 3\xi_1)},$$

$$\xi_1^2 \xi_3 = -\frac{\rho_0 (5 - 3c)}{168} - \xi_1 \xi_2^2 - \frac{13}{21} \xi_1^2 \xi_2,$$

$$\xi_1^2 \xi_4 = -\frac{\rho_0 (5 - 3c)^3}{1008} - \frac{1}{41} \left[6 + c(c - 1) \right] \xi_1^2 \xi_2 -$$

$$-\frac{19}{42} \xi_1^2 \xi_3 - \frac{38}{21} \xi_1 \xi_2 \xi_3 - \frac{2}{7} \xi_2^3 - \frac{1}{2} \xi_1 \xi_2^2,$$
(56)

$$\begin{split} \xi_1^2 \xi_5 &= \frac{\rho_0 \left(1+c\right)^4}{6960} - \frac{1}{58} \Big[6 + c(c-1) \Big] \Big(\xi_1^2 \xi_3 + \xi_1 \xi_2^2 \Big) - \\ &- \frac{302}{145} \xi_1 \xi_2 \xi_4 - \\ &- \frac{51}{145} \xi_1^2 \xi_4 - \frac{93}{145} \xi_1 \xi_3^2 - \frac{149}{145} \xi_2^2 \xi_3 - \frac{24}{29} \xi_1 \xi_2 \xi_3 - \frac{21}{145} \xi_2^3, \\ \xi_1^2 \xi_6 &= -\frac{\rho_0 \left(1+c\right)^5}{54720} - \frac{1}{228} \Big[6 + c(c-1) \Big] \times \\ &\times \Big(3\xi_1^2 \xi_4 + 2\xi_1 \xi_2 \xi_3 + \xi_2^3 \Big) - \frac{40}{19} \xi_1 \xi_2 \xi_5 - \frac{65}{228} \xi_1^2 \xi_5 - \\ &- \frac{30}{19} \xi_1 \xi_3 \xi_4 - \frac{56}{27} \xi_2^2 \xi_4 - \frac{7}{57} \xi_1 \xi_2 \xi_4 - \\ &- \frac{20}{19} \xi_2 \xi_3^2 - \frac{27}{76} \xi_3^2 - \frac{85}{228} \xi_2^2 \xi_3. \end{split}$$

Асимптотика функции I_4 определена формулами

$$\begin{split} I_4 &= \phi_0 + \phi_1 \tau + \ldots + \phi_4 \tau^4, \\ \phi_0 &= \frac{9}{2} \xi_1^2, \quad \phi_1 = 18 \xi_1 \xi_2 + 9 \xi_1^2, \\ \xi_1 \phi_2 &= 18 \xi_1 (\xi_1 + 1) \xi_3 + (21 \xi_1 + 12) \xi_2^2 + \\ &\quad + \frac{75}{2} \xi_1^2 \xi_2 + 3 \xi_1^3 - 2 \xi_3 \phi_0 - \frac{3}{2} \xi_2 \phi_1, \\ \xi_1 \phi_3 &= \frac{9}{7} \Big[12 (2 \xi_1 + 1) \xi_1 \xi_4 + 94 \xi_1 \xi_2 \xi_3 + \\ &\quad + 35 \xi_1^2 \xi_3 + 16 \xi_2^3 + 40 \xi_1 \xi_2^2 + 8 \xi_1^2 \xi_2 \Big] - \\ &\quad - \frac{1}{7} \Big(16 \xi_4 \phi_0 + 13 \xi_3 \phi_1 + 10 \xi_2 \phi_2 \Big), \\ \xi_1 \phi_4 &= \frac{9}{8} \Big[50 \xi_1^2 \xi_5 + 142 \xi_1 \xi_2 \xi_4 + 45 \xi_1^2 \xi_4 + 66 \xi_1 \xi_3^2 + \\ &\quad + 94 \xi_2^2 \xi_3 + 110 \xi_1 \xi_2 \xi_3 + 10 \xi_1^2 \xi_3 + 20 \xi_2^3 + 18 \xi_1 \xi_2^2 \Big] - \\ &\quad - \frac{1}{8} \Big(20 \xi_5 \phi_0 + 17 \xi_4 \phi_1 + 13 \xi_3 \phi_2 + 11 \xi_2 \phi_3 \Big). \end{split}$$

Параметры потока, стартующего с сингулярной плоскости x=0 в двумерное поле $\phi(t,x,z)$, приведены на рис. 14. В силу смысла переменной ξ при $t=0,\ \xi=\infty$ пространство освобождается от зарядов, а с ростом t (уменьшение ξ и τ при x= const) функция I_1 , колеблясь, убывает, а плотность растет. При $t\to\infty$ ($\xi,\tau\to0$) на плоскости x=0 устанавливается ρ -режим с нулевыми компонентами касательной скорости для $\alpha,\beta<0$.

Частное решение. Система (53) имеет частное решение в элементарных функциях для $\gamma = 1$:

$$u = I_1(\xi), \quad v = x^{\alpha} I_2(\xi), \quad w = \frac{c}{t} z + x^{\beta} I_3(\xi),$$
 (58)

$$\varphi = \frac{c(c-1)}{2t^2}z^2 + I_4(\xi), \quad \rho = \frac{1}{x^2}I_5(\xi), \quad \xi = x/t;$$

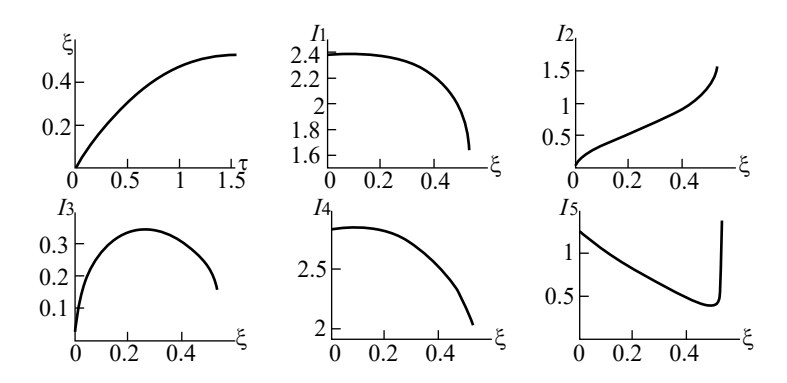


Рис. 14. Решение XI, параметры потока при эмиссии в ρ -режиме: $\gamma = 1/3$, c = 1.5.

$$\ddot{\xi} + \ddot{\xi} + c(c-1)\dot{\xi} = \rho_0 \exp[-(c-1)\tau],$$

$$I_1 = \dot{\xi} + \xi, \quad I_2 = V_0 \xi^{-\alpha} \exp(-\alpha \tau),$$

$$I_3 = W_0 \xi^{-\beta} \exp[-(\beta + c)\tau],$$

$$I_4 = \frac{1}{2}\dot{\xi}^2 + \int \dot{\xi}^2 d\tau, \quad I_5 = \frac{\rho_0 \xi^2}{\dot{\xi}} \exp[-(c-1)\tau];$$

$$\xi = A \exp\left(-\frac{c^2 - 3c + 1}{c - 1}\tau\right) + B \exp(-c\tau) +$$

$$+ \left[C + \frac{\rho_0}{c(c-1)^2}\tau\right] \exp[-(c-1)\tau].$$

Особый случай c = 1 определен формулами $\xi = \frac{1}{2}\rho_0\tau^2 + A\tau + B\exp(-\tau) + C,$ $I_4 = \frac{1}{3}\rho_0\tau^3 + \rho_0\left(A + \frac{1}{2}\rho_0\right)\tau^2 + A(A + \rho_0)\tau +$ $+B[\rho_0\tau+A+2\rho_0]\exp(-\tau).$

ЗАКЛЮЧЕНИЕ

Точные решения уравнений нестационарного нерелятивистского пучка с пространственными траекториями, зависящие от двух декартовых координат, анализ которых проведен выше, описывают инжекцию с плоскости в неоднородное одномерное или двумерное самосогласованное электрическое поле при возможном наличии *z*-компоненты однородного магнитного поля. При выборе свободных параметров и функций решения предпочтение отдавалось вариантам с резко немонотонным или осцилляционным режимом пучка без ограничения по длине, наступающего при образовании виртуального катода. Стартовая плоскость могла быть сингулярной поверхностью с особенностью, свойственной эмиссии в ρ - или T-режиме по нормали к ней, но при отличных от нуля касательных компонентах скорости. Реальные термоэмиссионные катоды не соответствуют последнему условию, что не мешает постановке численных экспериментов с учетом особенности.

Хотя короткие пучки с поверхностью отражения не являлись предметом рассмотрения, однако условия возникновения виртуального катода были сформулированы, поскольку сингулярная поверхность такого рода при тестировании позволяет оценить эффективность регулярных алгоритмов при приближении к ней.

При рассмотрении конкретной физической задачи уровень энергии электронного пучка и характерный линейный размер бывают известны. Эти величины дают возможность оценить представляющее интерес время нестационарного процесса. Приведенные выше результаты изложены в безразмерной манере, а упомянутая физическая информация позволяет вернуться к размерным величинам. Напряженность магнитного поля при этом измеряется в единицах $V/(\eta \mu_0 L)$, где V, L масштабы скорости и длины; η, μ_0 — удельный заряд электрона и магнитная проницаемость вакуума.

Авторы данной работы заявляют об отсутствии конфликта интересов.

СПИСОК ЛИТЕРАТУРЫ

- Child C.D. // Phys. Rev. 1911. V. 32. № 5. P. 492.
- Langmuir I. // Phys. Rev. 1913. V. 2. № 5. P. 450.
- Langmuir I., Blodgett K.B. // Phys. Rev. 1923. V. 22. № 4. P. 347.
- Langmuir I., Blodgett K.B. // Phys. Rev. 1924. V. 24. № 1.
- 5. Браудэ С.Я. // ЖЭТФ. 1935. Т. 5. № 7. С. 621.
- Браудэ С.Я. // ЖТФ. 1940. Т. 10. № 3. С. 217.
- Браудэ С.Я. // ЖТФ. 1945. Т. 15. № 3. С. 107.
- Гринберг Г.А., Волькенштейн В.С. // ЖТФ. 1938. Т. 8. № 11. C. 19.

- 9. *Brillouin L.* // Phys. Rev. 1945. V. 67. № 7, 8. P. 260. 10. *Kirstein P.T.* // J. Electr. Contr. 1959. V. 7. № 5. P. 417. 11. *Dryden V.W.* // J. Appl. Phys. 1962. V. 33. № 10. P. 3118.
- 12. Мануилов В.Н., Цимринг Ш.Е. // РЭ. 1978. Т. 23. № 7. C. 1486.
- 13. Мануилов В.Н. // РЭ. 1981. Т. 26. № 11. С. 2425.

ТОЧНЫЕ РЕШЕНИЯ УРАВНЕНИЙ ДВУМЕРНОГО НЕСТАЦИОНАРНОГО ЭЛЕКТРОННОГО 1019

- 14. Солуянова Е.А. // Изв. вузов. Радиофизика. 1995. T. 36. № 6. C. 596.
- 15. Данилов В.Н. // Журн. прикл. механики и техн. физики. 1968. № 1. С. 3.
- 16. *Сыровой В.А.* // Журн. прикл. механики и техн. физики. 1963. № 3. С. 26.
- 17. Сыровой В.А. // Журн. прикл. механики и техн. физики. 1965. № 6. С. 3.
- 18. Миллер Р. Введение в физику сильноточных пучков заряженных частиц. М.: Мир, 1984.
- 19. Брейзман Б.Н., Рютов Д.Д., Ступаков Г.В. // Изв. вузов. Физика. 1979. № 10. С. 7.
- 20. Рудаков Л.И., Бабыкин М.В., Гордеев А.В. и др. Генерация и фокусировка сильноточных релятивистских электронных пучков. М.: Энергоатомиздат, 1990.
- 21. Сапронова Т.М., Сыровой В.А. // РЭ. 2010. Т. 55. № 6. C. 726.
- 22. Сапронова Т.М., Сыровой В.А. // РЭ. 2024. Т. 69. № 3.
- 23. Сыровой В.А., Свешников В.М., Козырев А.Н. Аналитическое и численное моделирование интенсивных пучков заряженных частиц. Новосибирск: Изд-во CO PAH, 2023.
- 24. Мануилов В.Н., Райский Б.В., Цимринг Ш.Е., Солуянова Е.В. // Изв. вузов. Радиофизика. 1992. Т. 35. № 9/10. C. 846.

- 25. Свешников В.М. // Прикл. физика. 2004. № 1. С. 55.
- 26. Свешников В.М. // Прикл. физика. 2006. № 3. С. 49.
- 27. Свешников В.М. // Вычислит. технологии. 2006. Т. 11. № 5. C. 77.
- 28. Козырев А. Н., Свешников В. М. // Вестн. ЮУрГУ. Сер. Вычисл. математика и информатика. 2017. Т. 6. № 2. C. 5.
- 29. Овсянников Л.В. Групповой анализ дифференциальных уравнений. М.: Наука, 1978.
- 30. Сыровой В.А. // РЭ. 2003. Т. 48. № 4. С. 467.
- 31. Сыровой В.А. Теория интенсивных пучков заряженных частиц. М.: Энергоатомиздат, 2004.
- 32. *Syrovoy V.A.* Theory of Intense Beams of Charged Particles. US: Elsevier, 2011.
- 33. Бегучев О.П. // ЖТФ. 1956. Т. 26. № 7. С. 1483.
- 34. Вашковский А.В., Сыровой В.А. // РЭ. 1991. Т. 36. № 2. C. 392.
- 35. *Pease M.C.* // J. Appl. Phys. 1960. V. 31. № 1. P. 70.
- 36. Сыровой В.А. // Журн. прикл. механики и техн. физики. 1964. № 1. С. 3.
- 37. *Сыровой В.А.* // Журн. прикл. механики и техн. физики. 1965. № 3. С. 56. 38. *Сыровой В.А.* // РЭ. 2008. Т. 53. № 6. С. 752. 39. *Сыровой В.А.* // РЭ. 2019. Т. 64. № 6. С. 593.

- 40. Meltzer B. // Proc. Phys. Soc. 1949. V. 62. № 355B. P. 431.

EXACT SOLUTIONS TO THE EQUATIONS OF 2-D NON-STATIONARY ELECTRON FLOW

T. M. Sapronova, V. A. Syrovov*

All-Russian Electrotechnical Institute — branch of the Russian Federal Nuclear Center All-Russian Scientific Research Institute of Technical Physics named after academician E.I. Zababakhin, Krasnokazarmennaya Str., 12, Moscow, 111250 Russian Federation

*E-mail: red@cplire.ru

Received April 18, 2023, revised November 18, 2023, accepted January 11, 2024

Analysis and interpretation of exact solutions for oscillatory modes of 2-D dense electron beam with 3-D trajectories are carried out in the paper.

Keywords: exact solutions, non-stationary flow, 2-D beam equations, 3-D trajectory